

## مقایسه‌ی روش پنمن مانیت فائق و تشت تبخیر کلاس A با داده‌های لایسیمتری در برآورد تبخیر و تعرق گیاه برنج در منطقه‌ی آمل

حمید زارع‌ایانه\* - دانشیار گروه مهندسی آبیاری دانشکده کشاورزی، دانشگاه بولی‌سینا  
حدیثه نوری - دانشجوی کارشناسی ارشد آبیاری و زهکشی، دانشگاه بولی‌سینا  
عبدالمجید لیاقت - دانشیار گروه آبیاری، دانشگاه تهران  
حمیده نوری - استادیار گروه آبیاری و آبادانی، دانشگاه تهران  
ولی‌ا. کریمی - کارشناس ارشد مرکز ترویج و توسعه‌ی تکنولوژی هراز

تأیید نهایی: ۱۳۹۰/۴/۲۷ پذیرش مقاله: ۱۳۸۹/۵/۲۶

### چکیده

در بخش عظیمی از قاره‌ی آسیا، برنج تأمین کننده‌ی بیش از ۸۰ درصد کالری مصرفی مردم است. تأمین نیاز آبی برنج، به عنوان گیاهی با ارزش غذایی و اقتصادی بالا، در بسیاری از اراضی شالیزاری امری مهم تلقی می‌شود. در این مطالعه، تبخیر و تعرق گیاه برنج در قالب طرحی دو ساله، با کشت دو رقم خزر و طارم به دو روش مستقیم (لایسیمتر) و غیرمستقیم (فائق) در منطقه‌ی آمل در استان مازندران مورد بررسی قرار گرفت. در راستای اندازه‌گیری‌های لایسیمتری و محاسبه‌های فوق، تبخیر و تعرق گیاه مرجع از اندازه‌گیری‌های روزانه‌ی تشت تبخیر کلاس A و تعیین ضرایب اصلاحی تشت تبخیر به دست آمد. ضرایب اصلاحی تشت تبخیر از معادله‌های پژوهشگران مختلفی مانند کوینیکا، آلن و پرویت، اشنایدر، اشنایدر اصلاح شده، اورنگ و کوینیکا محاسبه شد. با بررسی نتایج لایسیمتری، تبخیر و تعرق گیاه برنج در سال اول کشت ۵۷۸/۵ میلی‌متر و در سال دوم ۴۸۱/۶ میلی‌متر حاصل شد. نتایج مطالعه نشان داد، استفاده از روش پنمن مانیت فائق در محاسبه‌ی تبخیر و تعرق گیاه مرجع و اعمال ضربی گیاهی تبخیر و تعرق برنج در این منطقه، ۴-۵ درصد برآورد پیشتری نسبت به مقادیر اندازه‌گیری لایسیمتری دارد. براساس نتایج به دست آمده، روش اشنایدر برای تعیین ضربی تشت توصیه می‌شود. همچنین، استفاده از تشت تبخیر در برآورد تبخیر و تعرق گیاه مرجع منطقه‌ی مورد مطالعه، مناسب است. مقایسه‌ی تبخیر و تعرق برنج برآورده، براساس داده‌های تشت تبخیر و ضربی تشت اشنایدر و اعمال ضربی گیاهی با مقادیر تبخیر و تعرق واقعی برنج نشان داد، مقادیر برآورده به طور میانگین ۱/۵ درصد نسبت به مقادیر واقعی کمتر است که مؤید دقت مناسب مدل در برآورد تبخیر و تعرق گیاه برنج در منطقه‌ی مورد مطالعه است. در مجموع یافته‌های پژوهش نشان داد با به کار گیری روش‌های مناسب تخمین تبخیر و تعرق گیاه مرجع و اعمال ضربی گیاهی، می‌توان تبخیر و تعرق گیاه برنج را که برای مناطق مختلف کاربردی و مناسب است با دقت مطلوب محاسبه کرد.

کلیدواژه‌ها: برنج آمل، روش پنمن مانیت فائق، روش اشنایدر، ضربی گیاهی و لایسیمتر.

## مقدمه

برنج در بخش عظیمی از قاره آسیا تأمین کننده‌ی بیش از ۸۰ درصد کالری مصرفی مردم است (وبستر و گانل، ۱۹۹۲). مصرف این ماده غذایی در ایران از دیرباز معمول بوده و در حال حاضر، به عنوان دومین ماده‌ی مهم غذایی پس از گندم، در ردیف کالاهای اساسی قرار دارد (جوان نیکخواه و همکاران، ۱۳۸۰، ۱۹۹۱). گیاه برنج علاوه‌بر اهمیت غذایی، از نظر وابستگی به آب نیز ویژگی‌های منحصر به فردی دارد. در بسیاری از اراضی شالیزاری، تأمین آب به عنوان اساسی‌ترین نهاده در تولید برنج با مشکل جدی روبرو بوده و این مسئله، لزوم بررسی نیاز آبی و آب مصرفی گیاه برنج را نشان می‌دهد.

نیاز آبی هر گیاه<sup>۱</sup> ( $ET_C$ ) تابعی از نیاز آبی گیاه مرجع<sup>۲</sup> ( $ET_0$ ) بوده که در قالب ضریب گیاهی<sup>۳</sup> ( $k_c$ ) به صورت  $ET_C = ET_0 \times K_c$  بیان می‌شود. به عبارت دیگر، تبخیر و تعرق هر محصول مانند برنج، نسبتی از تبخیر و تعرق گیاه مرجع است که این نسبت را عاملی به نام ضریب گیاهی تعیین می‌کند (آلن و همکاران، ۱۹۹۸). ضریب گیاهی با توجه به تفاوت‌های فیزیولوژیکی و مورفو‌لوزیکی گونه‌های گیاهی و ویژگی‌های اقلیمی منطقه‌ی رشد، متغیر است (آلن و همکاران، ۲۰۰۵، ۲۶). با افزایش طول دوره‌ی رشد مقدار ضریب گیاهی افزایش می‌یابد، به طوری که در مرحله‌ی توسعه کامل<sup>۴</sup> به حداقل و پس از آن روبره کاهش می‌گذارد (آلن و همکاران، ۱۹۹۸). تعیین ضریب گیاهی به صورت کاشت گیاه مرجع (چمن) و گیاه اصلی، همواره، مورد تأکید پژوهشگران بوده است (جنسن و همکاران، ۱۹۹۰)، در حالی که، این مسئله از نظر اقتصادی پُرهزینه و از نظر زمانی وقت‌گیر است؛ زیرا باید با کاشت همزمان گیاه مرجع و گیاه اصلی در لایسیمتر، ضریب گیاهی طی مراحل مختلف رشد تعیین شود.

ضریب گیاهی برنج براساس پیشنهاد فائق (آلن و همکاران، ۱۹۹۸) برای مرحله‌ی ابتدایی رشد ۱/۰۵، مرحله‌ی میانی ۱/۰ و مرحله‌ی پایانی رشد ۰/۰، با عنوان ضرایب جدولی توصیه شده است. انجام یک پژوهش در هندوستان نشان داد ضریب گیاهی برنج با افزایش طول دوره‌ی رشد، تعییر می‌کند، به طوری که، مقدار این ضرایب در مراحل اول، سوم و چهارم رشد به ترتیب ۱/۱۵، ۱/۱۴ و ۱/۱۲ بود (تیاگی و همکاران، ۱۹۹۹، ۴۵). در مطالعه‌ای دیگر در منطقه‌ی کوشک فارس، با هدف تعیین نیاز آبی و ضریب گیاهی برنج رقم چمپای کامفیروز، میانگین تبخیر و تعرق دوره‌ی رشد، بین ۵۶۰ تا ۷۵۷ میلی‌متر بود و ضریب گیاهی مرحله‌ی اول رشد ۰/۹۷، مرحله‌ی میانی ۱/۲۵ و مرحله‌ی پایانی رشد ۱/۰۹ تعیین شد (پیرمرادیان و همکاران، ۱۳۸۱، ۱۵). در پژوهش‌های انجام‌شده در شمال چین، مقدار نیاز آبی برنج در طول دوره‌ی رشد ۵۶۰ میلی‌متر و ضریب گیاهی آن در مرحله‌ی اول رشد ۱/۰۷، مرحله‌ی سوم ۱/۲ و مرحله‌ی چهارم ۰/۸۷ گزارش شد (یانگ و همکاران، ۲۰۰۶، ۳۷). بررسی مقدار آب مصرفی و میزان عملکرد محصول برنج رقم خزر در منطقه‌ی گیلان بیانگر عدم وجود تفاوت معنادار بین تیمارهای با دور آبیاری ۲ و ۵ روز بود و آب مورد نیاز برنج ۸۷۱/۴ میلی‌متر گزارش شد (نحوی و همکاران، ۱۳۷۹، ۱)؛ در حالی که، پژوهشگران دیگر نیاز آبی برنج در منطقه‌ی گیلان را ۵۶۰ میلی‌متر

- 
1. Crop evapotranspiration
  2. Reference evapotranspiration
  3. Crop coefficient
  4. Crop development

گزارش کردند (خوش خواهش، ۱۳۷۶). در پژوهشی میدانی با کاشت لایسیمتری دو رقم برج و گیاه مرجع چمن در منطقه‌ی گیلان، میانگین ضریب گیاهی برای برج رقم بی‌نام ۱/۱۱ و رقم خزر ۱/۱۴ و میانگین ضریب تشت ۰/۷۸ بهدست آمد (رضوی‌پور و یزدی، ۱۳۸۷، ۶۲۱).

تبخیر از تشت نیز می‌تواند به عنوان شاخصی مناسب، برای برآورد تبخیر و تعرق گیاه مرجع و درنهایت گیاه اصلی قلمداد شود (ایرماک و همکاران، ۲۰۰۲، ۱۵۵). استفاده از تشت تبخیر به دلیل سادگی، سهولت تفسیر داده‌های آن و داشتن دقّت خوب در مناطق مربوط برای برآورد تبخیر و تعرق مرجع مناسب است (ایرماک و همکاران، ۲۰۰۲، ۱۵۴)، اما در اقلیم‌های خشک، برآوردهای تشت تبخیر کمتر از واقعیت است (رزنبرگ و پاورز، ۱۹۷۰، ۲۷۶). در تبدیل مقادیر تبخیر از تشت به تبخیر و تعرق گیاه مرجع از ضریب تشت<sup>۱</sup> ( $K_P$ ) استفاده می‌شود. ضریب تشت از روش‌های مختلف، برآورد می‌شود. نتایج یک پژوهش انجام‌شده در منطقه‌ی گرگان نشان داد ضریب تشت برآورده شده به روش اورنگ و اشنایدر اصلاحی در مقیاس زمانی روزانه، روش کونیکا، آلن پروت و اشنایدر اصلاحی برای دوره‌های ده روزه و روش اشنایدر اصلاحی و کونیکا برای تبخیر و تعرق ماهیانه مناسب است (شریفان و قهرمان، ۱۳۸۵، ۲). داشت کار آراسته و همکاران (۲۰۰۴، ۴۷ و ۵۲) در برآورد مقدار تبخیر از مخازن چاهنیمه سیستان بلوچستان به روش بیلان انرژی و از تشت تبخیر ایستگاه هواشناسی سد چاهنیمه به واسنجی ضریب تشت به روش‌های مختلف اقدام کردند. نتایج آنان نشان داد، مقدار ضریب تشت در هر ماه از سال و همچنین از سالی به سال دیگر تغییر می‌کند. به همین دلیل هر چند سال یکبار باید مقادیر تعیین‌شده بار دیگر از نو تعیین و بهسازی شوند. در مطالعه‌ای دیگر در منطقه‌ی تبریز، ضرایب تشت تبخیر کلاس A در سه وضعیت استقرار یافته در مزرعه‌ی چمن و در دو ارتفاع ۵۰ و ۸۰ سانتی‌متری از یک مزرعه‌ی یونجه بررسی شد. نتایج نشان داد مقادیر ضریب حاصل از تشت مستقر در ارتفاع ۵۰ سانتی‌متری پوشش یونجه در برآورد تبخیر تعرق گیاه مرجع مناسب است (مرادی دالینی، ۱۳۷۸، ۱۶۷). نتایج مطالعات امداد (۱۳۷۸، ۹۲) در منطقه‌ی گرگان نشان داد، دقّت تبخیر و تعرق برآورده شده از روش تشت، براساس ضریب تشت محاسبه شده به روش فائق کمتر از تبخیر و تعرق گیاه مرجع برآورده از روش‌های بلانی کریدل و پنمن مانتیث بود.

در این مطالعه تبخیر و تعرق گیاه برج براساس اطلاعات اقلیمی به روش تشت تبخیر و روش پنمن مانتیث در مقایسه با مقادیر تبخیر و تعرق لایسیمتر برآورده شد. همچنین تبخیر و تعرق گیاه مرجع براساس اطلاعات تبخیر اندازه‌گیری شده از تشت تبخیر کلاس A نیز محاسبه شد. برای این منظور ضریب تشت از مدل‌های مختلف و در مقادیر تبخیر از تشت اعمال شد. مقادیر تبخیر و تعرق گیاه مرجع به دست آمده از تشت تبخیر با مقادیر تبخیر و تعرق گیاه مرجع محاسبه شده با روش پنمن مانتیث فائق ۵۶ مقایسه و یک مدل ضریب تشت برای منطقه پیشنهاد شد. درنهایت تبخیر و تعرق گیاه برج با محاسبه‌ی ضریب گیاهی به روش فائق و اعمال آن بر مقادیر تبخیر و تعرق گیاه مرجع به روش تشت و پنمن مانتیث به دست آمد و با مقادیر دو ساله‌ی لایسیمتری مقایسه و بررسی شد.

1. Pan coefficient

## مواد و روش‌ها

این مطالعه، طی دو سال در مزرعه‌ی تحقیقاتی مرکز ترویج و توسعه‌ی تکنولوژی هراز در کیلومتر ۱۰ جاده آمل - محمودآباد (طول جغرافیایی<sup>۱</sup> ۵۲° ۱۷' شرقی، عرض جغرافیایی<sup>۲</sup> ۵۸° ۳۶' شمالی و ارتفاع ۵/۵ متر از سطح دریا) انجام شد. از نظر آب‌وهوازی، میانگین درازمدت بیشینه‌ی دما ۳۲/۷°C، کمینه‌ی دما ۷/۸°C درجه‌ی سانتی‌گراد و میانگین بارندگی سالانه، ۸۸۲/۶ میلی‌متر است که ۶۳ درصد از ریزش‌ها در ماه شهریور تا آذر اتفاق می‌افتد.

برای تعیین نیاز آبی گیاه برنج و ضریب گیاهی، دو رقم اصلاح‌شده‌ی منطقه (خزر و طارم) به عنوان ارقام پُرمحصول، طی دو سال زراعی کشت و مورد مقایسه قرار گرفتند. تمامی اندازه‌گیری‌های مربوط به نیاز آبی برنج، در یک دستگاه لایسیمتر غیروزنی مستقر در ایستگاه هواشناسی به طول ۱ متر، عرض ۱ متر و ارتفاع ۶۵ سانتی‌متر صورت گرفت. برای جلوگیری از ورود آب از سطح زمین به لایسیمتر، دیواره‌های لایسیمتر تا ۱۰ سانتی‌متر بالاتر از سطح زمین گرفته شدند. همچنین، دیواره‌های لایسیمتر از درون اندود شد تا نشت آبی به لایسیمتر وجود نداشته باشد. لایه‌های خاک درون لایسیمتر، مشابه خاک زمین‌های اطراف بود تا بیانگر شرایط طبیعی مزرعه باشد و از دقّت نتایج کاسته نشود. بافت خاک محل اجرای آزمایش سیلتی رسی بود که نشان‌دهنده‌ی ریزدانه بودن خاک منطقه است. ویژگی‌های فیزیکی و شیمیایی خاک لایسیمتر پیش از کاشت برنج با نمونه‌گیری از لایه ۰-۳۰ سانتی‌متر تعیین شد. برخی از ویژگی‌های فیزیکی و شیمیایی خاک در جدول ۱ آمده است.

جدول ۱. خصوصیات فیزیکی خاک

متغیرهای اندازه‌گیری شده	لایه ۰-۳۰ سانتی‌متر
۱- بافت خاک	سیلتی رسی
الف - درصد شن	۱۱/۷۳
ب - درصد سیلت	۴۶/۴۱
ج - درصد رس	۴۱/۸۶
۲- رطوبت وزنی در ظرفیت زراعی (درصد)	۰/۳۴
۳- رطوبت وزنی در نقطه‌ی پذمردگی (درصد)	۰/۲۰
۴- اسیدیته خاک (pH)	۸/۲۸
۵- هدایت الکتریکی عصاره‌ی اشباع خاک ( $dSm^{-1}$ )	۰/۸

بذرپاشی شلتوك برنج، در اردیبهشت ماه، در خزانه انجام شد و نشاها پس از ۳-۴ برگی شدن در خرداد ماه در لایسیمتر قرار گرفتند. کشت به صورت کپه کاری دستی، با فاصله‌ی  $20 \times 20$  سانتی‌متر و تعداد ۲۰-۲۵ نشا در هر کپه بود. در سال اول، برنج رقم خزر و در سال دوم، رقم طارم به عنوان ارقام پُرمحصول منطقه کشت شد. از آن‌جاکه لایسیمتر در محدوده‌ی مزارع شالیزاری مستقر بود و اندازه‌گیری‌ها نیز با حداقل دقّت انجام شد، بنابراین، نتایج این مطالعه قابل اطمینان و کاربردی است. اندازه‌گیری‌های لایسیمتری براساس معادله‌ی بیلان آب - خاک درون لایسیمتر به صورت روزانه انجام گرفت (قاسمی و همکاران، ۱۳۸۶، ۲۴۹).

عملیات آبیاری به صورت دستی در مقیاس روزانه انجام گرفت و مقادیر بارندگی در طول دوره‌ی رشد از باران‌سنج مستقر در ایستگاه هواشناسی قرائت و در محاسبه‌ی نیاز آبی لحاظ شد (جالالی کوتایی، ۱۳۷۶). علاوه‌بر تعیین نیاز آبی گیاه برنج، برای تعیین دقّت روش‌های برآورد تبخیر و تعرّق گیاه برنج از سنجش‌های لایسیمتری استفاده شد. تبخیر و تعرّق گیاه مرجع از مدل پنمن مانتینث فائو ۵۶<sup>۱</sup> (PMF56) به عنوان یک مدل استاندارد و روش تشت تبخیر کلاس A به دلیل دسترسی آسان به داده‌های مورد نیاز طبق روابط ۱ و ۲ برآورد شد (سیزی‌پرور و همکاران، ۱۳۸۷، ۳۳۱).

$$ET_0 = \frac{0.408 (R_n - G) + \gamma \frac{900}{\bar{T} + 237} U_2 (e_s - e_a)}{\Delta + \gamma(1 + 0.34 U_2)} \quad \text{رابطه ۱}$$

$$ET_0 = K_p \times E_{pan} \quad \text{رابطه ۲}$$

در روابط فوق،

$ET_0$ : تبخیر و تعرّق گیاه مرجع چمن ( $MJm^{-2}d^{-1}$ ),  $R_n$ : تابش خالص در سطح تبخیر و تعرّق ( $mmd^{-1}$ ),  $G$ : شار حرارتی خاک ( $MJm^{-2}d^{-1}$ ),  $\bar{T}$ : متوسط درجه حرارت هوا ( $^{\circ}\text{C}$ ),  $e_s$ : فشار بخار اشباع ( $Kpa$ ),  $e_a$ : فشار بخار واقعی ( $Kpa$ ),  $\gamma$ : کمیود فشار بخار اشباع<sup>۲</sup> ( $Kpa$ ),  $\Delta$ : شبیه منحنی فشار بخار در مقابل درجه حرارت ( $Kpa^o C^{-1}$ ),  $U_2$ : ثابت سایکرومتریک ( $Kpa^o C^{-1}$ ),  $E$ : سرعت باد در ارتفاع ۲ متری ( $ms^{-1}$ ),  $K_p$ : ضریب تشت (بدون بعد) است.

در این مطالعه، برای تعیین ضریب تشت از روابط کوئیکا (رابطه ۳)، آلن و پروت (رابطه ۴)، اشنایدر (رابطه ۵)، اشنایدر اصلاح شده (رابطه ۶)، اورنگ (رابطه ۷) و فائو (رابطه ۸) استفاده شد (شریفان و قهرمان، ۱۳۸۵).

$$K_p = 0.475 - (2.4 \times 10^{-4} \times U) + (5.16 \times 10^{-3} \times RH) + (1.18 \times 10^{-3} \times F) - (1.6 \times 10^{-5} \times RH) - (1.01 \times 10^{-6} \times F^2) - (8 \times 10^{-9} \times RH^2 \times U) - (1 \times 10^{-8} \times RH^2 \times F) \quad \text{رابطه ۳}$$

$$K_p = 0.108 - (3.31 \times 10^{-4} \times U) + (0.0422 \times \ln(F)) + (0.1434 \times \ln(RH)) - (6.31 \times 10^{-4} \times [\ln(F)]^2 \times \ln(RH)) \quad \text{رابطه ۴}$$

$$K_p = 0.482 - (3.76 \times 10^{-4} \times U) + (0.024 \times \ln(F)) + (0.0045 \times RH) \quad \text{رابطه ۵}$$

$$K_{padj} = 0.5321 - (3 \times 10^{-4} \times U) + (0.0249 \times \ln(F)) + (0.0025 \times RH) \quad \text{رابطه ۶}$$

$$K_p = 0.51206 - (3.21 \times 10^{-4} \times U) + (0.031886 \ln(F)) + (0.00288945 \times RH) - (1.07 \times 10^{-4} \times RH \times \ln(F)) \quad \text{رابطه ۷}$$

1. Penman Mantineth FAO 56

2. Vapor pressure deficit

$$K_p = 0.61 + 0.00341 RH_{mean} - (0.000162 \times U \times RH_{mean}) - (0.00000959 \times U \times F) \\ + (0.00327 \times U \times \ln(F)) - (0.00289 \times U \times \ln(86.4U)) - (0.0106 \times \ln(86.4U) \times \ln(F)) \\ + (0.000063 \times [\ln(F)]^2 \times \ln(86.4U)) \quad (رابطه ۸)$$

که در آن‌ها:  $K_p$  ضریب تشت،  $U$  سرعت باد بر حسب  $Kmd^l$  (در معادله فائق،  $ms^{-1}$ )،  $RH$  رطوبت نسبی (%)،  $F$  افلاطی اطلاعات مربوط به روابط فوق از مجموعه داده‌های ایستگاه هواشناسی مرکز ترویج و توسعه استخراج و در معادله‌های ۳ تا ۸ جای‌گذاری شد. در کل، هفت سری داده شامل: یک سری داده تبخیر و تعرق گیاه مرجع از روش پنمن ماننتیث فائق ۵۶ و شش سری داده تبخیر و تعرق از روش تشت تبخیر کلاس A برای دو سال حاصل شد.

مناسب‌ترین رابطه ضریب تشت، با مقایسه  $ET_0$  های به‌دست‌آمده از مدل ۲، با  $ET_0$  مدل ۱، در قالب معیارهای آماری، تعیین و برای منطقه توصیه شد. از بین روابط ضریب تشت، رابطه‌ای مناسب است که پس از اعمال در مقادیر تبخیر از تشت کمترین اختلاف را با  $ET_0$  برآورد شده از مدل پنمن ماننتیث داشته باشد. سپس تبخیر و تعرق گیاه برنج براساس محاسبه‌ی ضریب گیاهی و اعمال آن در مدل‌های  $ET_0$  پیشنهادی به‌دست‌آمد. برای تخمین ضریب گیاهی، از رابطه ارائه‌شده در نشریه فائق ۵۶ (علیزاده و کمالی، ۱۴۳۶، ۱۳۸۶)، طبق معادله زیر استفاده شد:

$$K_C = K_{C(table)} + [0.04(U_2 - 2) \cdot 0.004(RH_{min} - 45)] \left[ \frac{h}{3} \right]^{0.3} \quad (رابطه ۹)$$

که در آن  $k_c$  ضریب گیاهی اصلاحی،  $K_{C(table)}$  ضریب گیاهی جدولی از نشریه فائق ۵۶،  $U_2$  سرعت باد در ارتفاع ۲ متری ( $ms^{-1}$ )،  $RH_{min}$  حداقل رطوبت نسبی (%)،  $h$  ارتفاع گیاه (m). از حاصل ضرب، ضریب گیاهی به‌دست‌آمده از معادله ۹ در تبخیر و تعرق گیاه مرجع به‌روش تشت تبخیر کلاس A و پنمن ماننتیث فائق ۵۶، تبخیر و تعرق گیاه برنج به‌دست می‌آید. به عبارت دیگر، برای هر سال زراعی دو سری تبخیر و تعرق گیاه برنج محاسبه شد.

برای تعیین دقّت نتایج تبخیر و تعرق محاسبه‌شده‌ی گیاه برنج، از اندازه‌گیری‌های لایسیمتری استفاده شد که به عنوان داده‌های مرجع برای مقایسه‌ی این مقادیر به کار گرفته شد. به عبارت دیگر، کلیه مقایسه‌ها، براساس مقادیر لایسیمتری و معیارهای خطای متوسط<sup>۳</sup> ( $RMSE$ ) و میانگین خطای متوسط<sup>۲</sup> ( $MBE$ ) به‌شکل زیر استفاده شد.

$$r = \frac{\sum_{i=1}^n (O_i - \bar{O})(P_i - \bar{P})}{\sqrt{\sum_{i=1}^n (O_i - \bar{O})^2 (P_i - \bar{P})^2}} \quad (رابطه ۱۰)$$

1. Correlation coefficient
2. Root mean square error
3. Mean bias error

$$RMSE = \frac{\sum_{i=1}^n (P_i - O_i)^2}{n} \quad \text{رابطه (۱۱)}$$

$$MBE = \frac{\sum_{i=1}^n (P_i - O_i)}{n} \quad \text{رابطه (۱۲)}$$

که در آن:  $P_i$  = مقدار برآورده شده،  $O_i$  = مقدار مشاهده شده،  $\bar{O}$  = میانگین مقادیر مشاهده شده،  $n$  = تعداد داده‌ها است.

### یافته‌های تحقیق

اطلاعات هواشناسی منطقه‌ی مورد مطالعه در طول مدت رشد گیاه برنج، براساس داده‌های ایستگاه هواشناسی مرکز ترویج و توسعه‌ی هراز در جدول ۲ آمده است. در این جدول میانگین اطلاعات دمای هوا، رطوبت نسبی، سرعت باد و بارندگی ارائه شده است. اطلاعات مربوط به این عوامل از روی داده‌های ثبت شده در دفاتر مخصوص ایستگاه هواشناسی مرکز ترویج و توسعه‌ی تکنولوژی هراز استخراج شده است.

جدول ۲. میانگین ماهانه‌ی داده‌های هواشناسی ایستگاه هواشناسی آمل (مرکز ترویج و توسعه‌ی تکنولوژی هراز)

(mm) بارندگی	سرعت باد*				دماه متوسط (°C)				ماه رشد	سال
	ماهانه	بلند مدت	ماهانه	بلند مدت	ماهانه	بلند مدت	ماهانه	بلند مدت		
۷۹/۰	۳۶/۰	۲/۰	۱/۹	۷۲/۰	۷۴/۰	۲۵/۸	۲۳/۲	تیر	۱۴	۱۴
۸۰/۱	۳۲/۵	۲/۰	۱/۸	۷۳/۰	۷۰/۴	۲۶/۸	۲۶/۶	مرداد		
۲۰۰/۴	۱۱۰/۵	۳/۰	۲/۵	۷۲/۰	۷۰/۷	۲۳/۷	۲۶/۴	شهریور		
۲۳۳/۱	۲۱۵/۵	۳/۰	۲/۴	۷۰/۰	۷۲/۷	۱۹/۵	۲۱/۶	مهر		
۱۴۸/۲	۹۸/۶	۲/۵	۲/۲	۷۲/۳	۷۲	۲۴	۲۴/۵	میانگین		
۴۹/۰	۱۰/۰	۳/۰	۲/۴	۷۴/۰	۷۵/۴	۱۹/۱	۱۸/۳	اردیبهشت	۱۵	۱۵
۹۷/۴	۴۱/۵	۲/۰	۲/۶	۷۳/۰	۷۱/۷	۲۳/۲	۲۴/۵	خرداد		
۷۹	۵۲/۰	۲/۰	۱/۸	۷۲/۰	۷۵/۳	۲۵/۸	۲۴/۶	تیر		
۸۰/۱	۲۶/۵	۲/۰	۱/۸	۷۳/۰	۷۴/۰	۲۶/۸	۲۷/۳	مرداد		
۷۶/۴	۳۲/۵	۲/۳	۲/۲	۷۳	۷۴/۱	۲۳/۷	۲۳/۷	میانگین		

\* سرعت باد در ارتفاع دو متری از سطح زمین

همان‌طور که جدول ۲ نشان می‌دهد، تفاوت قابل توجهی بین میانگین بلندمدت متغیرهای دمای هوا، رطوبت نسبی و سرعت باد با میانگین سالانه‌ی این عوامل در هر یک از سال‌های مورد مطالعه وجود ندارد، اما، بارش ماهانه نسبت به میانگین درازمدت آن کاهش داشته است. هرچند بررسی وضعیت بارندگی و روند آن از اهداف این پژوهش نیست، اما

آشکارسازی تغییرات فوق و یافتن علل آن برای مدیریت منابع آب کشاورزی و غیرکشاورزی لازم است. مقدار تبخیر و تعرّق گیاه مرجع برای هر یک از سال‌های کشت، بهترین از معادله‌های پمن مانیث فاو و تست تبخیر (معادله‌های ۱ و ۲) محاسبه شد. در جدول ۳، نتایج تبخیر و تعرّق گیاه مرجع حاصل از روش تست تبخیر با لحاظ ضریب تست از معادله‌های ۳ تا ۸ محاسبه و با برآوردهای مدل پمن مانیث مقایسه شده است. انتخاب مدل پمن مانیث، به عنوان مدل استاندارد، براساس مطالعات ایرماک و همکاران (۱۵۳، ۲۰۰۲) و رحیمی خوب (۲۸۹، ۲۰۰۹) بود که می‌تواند فرض منطقی باشد، زیرا در مدل پمن مانیث از شش متغیر هواشناسی شامل: دما، تشبع خورشیدی، ساعت‌های آفتابی، رطوبت نسبی و سرعت باد استفاده شده است. برآوردهای روش تست در مقایسه با برآوردهای مدل پمن مانیث، در قالب محاسبه‌ی معیارهای آماری جذر میانگین مربع‌های خطأ (RMSE)، میانگین خطای متوسط (MBE) و ضریب همبستگی (r) در جدول ۳ آورده شده است.

جدول ۳. برآورد تبخیر و تعرّق گیاه مرجع از روش تست تبخیر و روش پمن مانیث فاو و مقایسه‌های آماری مربوط

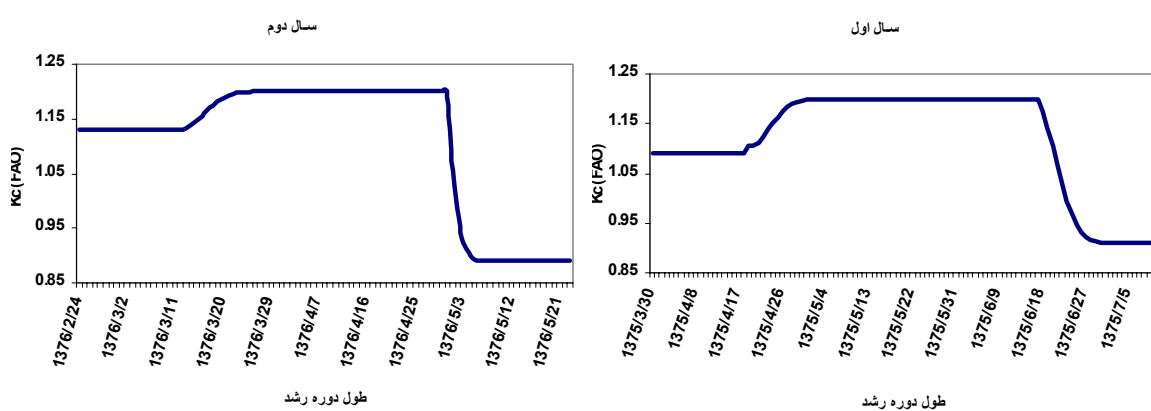
سال	ماه رشد	پمن مانیث	تبخیر تعرّق گیاه مرجع ( $\text{mmd}^{-1}$ )						تست تبخیر
			فاؤ	اورنگ	اشنايدر اصلاح شده	اشنايدر اصلاح شده	اشنايدر	آلن و پروت	
اول	تیر	۴/۵۹	۳/۳۶	۳/۵۵	۳/۱۲	۳/۹۴	۳/۶۵	۳/۷۹	تبخیر
	مرداد	۵/۵	۳/۳۱	۳/۵۰	۳/۱۲	۳/۸۹	۳/۶۵	۳/۹۸	
	شهریور	۵/۴۹	۳/۱۷	۳/۵۶	۲/۹۴	۳/۶۸	۳/۵۰	۳/۸۱	
	(۱۰-۱) مهر	۳/۶۷	۳/۲۲	۳/۴۱	۲/۹۹	۳/۷۳	۳/۵۵	۳/۳۶	
	میانگین	۴/۸۱	۳/۲۷	۳/۵۱	۳/۰۴	۳/۸۱	۳/۵۹	۳/۷۴	
	RMSE ( $\text{mmd}^{-1}$ )	-	۱/۵۶	۱/۴۰	۱/۸۱	۱/۱۳	۱/۳۱	۱/۱۹	
	MBE ( $\text{mmd}^{-1}$ )	-	-۱/۳۵	-۱/۱۲	-۱/۶۳	-۰/۱۸	-۰/۱۷	-۰/۷۰	
	r	-	۰/۶۵	۰/۶۵	۰/۶۵	۰/۶۵	۰/۶۵	۰/۶۴	
	اردیبهشت (۲۴-۱)	۳/۸۸	۲/۸۴	۳/۰۵	۲/۶۷	۳/۲۷	۳/۱۸	۳/۳۱	
	خرداد	۴/۴۸	۳/۲۸	۳/۴۸	۳/۰۹	۳/۸۷	۳/۶۳	۳/۹۲	
دوم	تیر	۵/۰۵	۲/۹۸	۳/۱۵	۲/۷۷	۳/۴۹	۳/۲۳	۳/۵۳	
	مرداد (۲۳-۱)	۵/۷	۳/۵۴	۳/۷۴	۳/۳۴	۴/۱۵	۴/۹۰	۴/۲۰	
	میانگین	۴/۷۸	۳/۱۶	۳/۳۶	۲/۹۷	۳/۹۶	۳/۴۹	۳/۷۴	
	RMSE ( $\text{mmd}^{-1}$ )	-	۱/۳۶	۱/۱۸	۱/۵۷	۰/۹۰	۱/۰۸	۰/۹۰	
	MBE ( $\text{mmd}^{-1}$ )	-	-۱/۲۰	-۰/۹۸	-۱/۴۵	-۰/۵۵	-۰/۸۳	-۰/۵۶	
	r	-	۰/۶۴	۰/۶۹	۰/۶۹	۰/۷۱	۰/۶۹	۰/۶۹	

جدول ۳ نشان می‌دهد در بین روش‌های مختلف تعیین ضریب تست، بیشترین خطای RMSE در هر دو سال، مربوط به روش اشنایدر اصلاحی بوده است. در مقابل، نتایج روش اشنایدر در مقایسه با روش‌های دیگر کمترین RMSE را دارد و مقادیر ضریب همبستگی (r) و متوسط خطای تخمین (MBE) آن نیز از وضعیت مناسبی برخوردار است. بهمین ترتیب روش کونيكا از نظر دقّت برآوردهای در رتبه‌ی دوم قرار گرفت که با نتایج شریفان و قهرمان (۱۳۸۵) در گام زمانی ماهانه برای منطقه‌ی گرگان هم‌خوانی دارد. بدیهی است که هرچه RMSE کوچک‌تر باشد، برآوردهای

به دست آمده دقیق‌تر است. بنابراین می‌توان نتیجه گرفت، برای محاسبه‌ی  $ET_0$ ، روش تشت تبخیر با ضریب تشت، پیشنهاد می‌شود از روش اشنایدر استفاده شود.

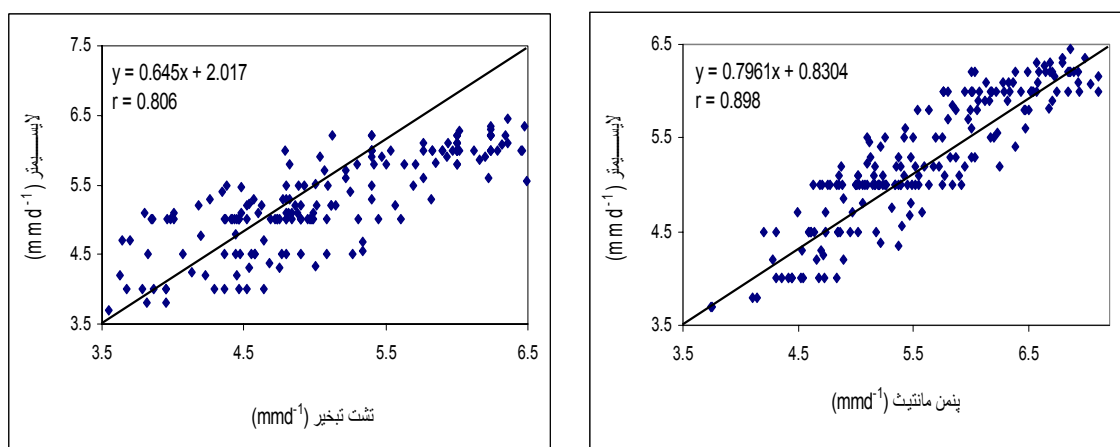
بررسی ضریب تغییرات متغیرهای باد و رطوبت نسبی، طی دو سال مطالعه نشان داد ضریب تغییرات سرعت باد در سال اول و دوم به ترتیب معادل  $0.28 \times 10^{-4}$  و  $0.35 \times 10^{-4}$  بود. در حالی که ضریب تغییرات رطوبت نسبی در هر دو سال  $0.18 \times 10^{-4}$  به دست آمد. بنابراین، می‌توان تأثیر متغیر باد را در ضریب تشت بیشتر از متغیر رطوبت نسبی دانست. از طرفی دانش کار آراسته و همکاران (۱۳۸۳) ضریب تشت را متغیری متأثر از سرعت باد گزارش کردند. بدین ترتیب، با توجه به کمتر بودن مقدار ضریب لحظه شده برای عامل باد ( $4 \times 10^{-4}$ )، در روش اشنایدر اصلاح شده، طبق رابطه ۶ نسبت به روش اشنایدر ( $76 \times 10^{-4}$ ) براساس رابطه ۵، منجر به محاسبه‌ی کمتر مقدار ضریب تشت می‌شود. بدین ترتیب، برآوردهای کمتر تبخیر و تعرق گیاه مرجع برمبنای معادله‌ی ۲ منطقی است.

شکل ۱ روند کلی ضریب گیاهی برنج به دست آمده از معادله‌ی ۹ را برای دو سال نشان می‌دهد. حداقل مقدار  $K_C$  در مرحله‌ی سوم رشد و توسعه‌ی گیاه برنج برای هر دو سال معادل  $1/2$  به دست آمد. حداقل آن نیز در مرحله‌ی چهارم برای هر دو سال اول و دوم  $0.9$  بود. بررسی‌های آلن و همکاران (۱۹۹۸) و یانگ و همکاران (۲۰۰۶) نیز نشان داد حداقل مقدار  $K_C$  در مرحله‌ی سوم رشد، به ترتیب معادل  $1/25$  و  $1/2$  بود و حداقل آن نیز در مرحله‌ی چهارم رشد  $0.9$  و  $0.87$  است که مؤید نتایج پژوهش حاضر است. در پژوهش حاضر، مقدار  $K_C$  برای مرحله‌ی اویله‌ی رشد نیز برای هر دو سال زراعی به ترتیب  $1/0.9$  و  $1/13$  به دست آمد که در راستای مقادیر گزارش شده از سوی رضوی‌پور و یزدی (۱۳۸۷)، برای منطقه‌ی گیلان است. بیشتر بودن ضریب گیاهی در مرحله‌ی یک، نسبت به مرحله‌ی چهارم رشد در گیاه برنج می‌تواند به دلیل نشاکاری و اشباع بودن ناحیه‌ی ریشه باشد؛ زیرا بوته‌های برنج، بخشی از دوره‌ی رشد اویله‌ی را خزانه داشته و پس از آن به لاپسیمتر منتقل شده‌اند. ضمن آن که مقدار  $K_C$  در این مرحله، به دور آبیاری وابسته بوده و در صورت کوتاه‌بودن دور آبیاری مقدار  $K_C$  افزایش می‌یابد (نشریه‌ی ۲۴ فائو).



شکل ۱. تغییرات ضریب گیاهی برنج ( $K_C$ ) طی دوره‌ی رشد در دو سال زراعی

در شکل ۲ تغییرات تبخیر و تعرق گیاه برنج، براساس مدل پنمن ماننتیث و مدل تشت تبخیر به همراه داده‌های اندازه‌گیری شده ترسیم شده است. تبخیر و تعرق محاسبه شده برای گیاه برنج نتیجهٔ اعمال مقدار ضریب گیاهی ( $K_C$ ) در مقادیر تبخیر و تعرق گیاه مرجع از مدل پنمن ماننتیث و تشت تبخیر است. در این شکل یک مدل خطی به مقادیر مشاهده شده‌ی تبخیر و تعرق در محور عمودی و مقادیر محاسبه شده در محور افقی، برازش داده شد.



شکل ۲. مقدار تبخیر تعرق گیاه برنج به دست آمده از مدل پنمن ماننتیث فائق و روش تشت تبخیر در مقایسه با مقادیر لایسیمتری

شکل ۲ نشان می‌دهد روش تشت تبخیر در شبیه‌سازی تبخیر و تعرق برنج در مقایسه با روش پنمن ماننتیث از دقّت کمتری برخوردار بوده است. برای تأیید این مسئله، می‌توان به ضرایب مدل‌های خطی در هر دو حالت اشاره کرد. در مدل پنمن ماننتیث شبیب خط برازش داده شده ( $0/79$ ) نسبت به تشت تبخیر ( $0/65$ ) بیشتر و به عدد یک نزدیک‌تر است. ضمن آن که مقدار عرض از مبدأ مدل پنمن ماننتیث ( $0/83$ ) نیز از مدل تشت تبخیر ( $0/201$ ) کمتر بوده و به صفر نزدیک‌تر است. خلیلی و همکاران (۱۳۸۷، ۹۶) و زارع ابیانه و همکاران (۱۳۸۸، ۱۷۹) نیز عامل مؤثر در انتخاب مدل پیشنهادی را بالا بودن مقدار شبیب و کمتر بودن مقدار عرض از مبدأ مدل خطی دانستند. عدم دقّت نتایج حاصل از مدل تشت در مقایسه با مدل پنمن ماننتیث می‌تواند ناشی از محاسبه‌ی ضریب تشت باشد که در مدل پنمن ماننتیث لازم نیست. در مدل تشت تبخیر از دو ضریب محاسبه شده، یعنی ضریب  $T$  ( $K_p$ ) و ضریب گیاهی ( $K_C$ ) و در مدل پنمن ماننتیث فقط از  $K_C$  برای برآورد تبخیر و تعرق گیاه برنج استفاده می‌شود.

مقایسه‌ی نتایج تبخیر و تعرق تجمعی برنج براساس اندازه‌گیری‌های لایسیمتری و محاسبه شده به روش پنمن ماننتیث برای هر دو سال در جدول ۴ آورده شده است. همچنین جذر میانگین مربع‌های خطای (RMSE) و میانگین خطای متوسط (MBE) مقادیر برآورده نسبت به مشاهداتی نیز محاسبه و در جدول ۴ آمده است.

جدول ۴. تبخیر و تعرق گیاهی تجمعی اندازه‌گیری و برآوردهی (روش فائو) برنج

مقدار خطأ		درصد تغيرات	تبخير و تعرق گیاه برنج (mm) و ( $mmd^{-1}$ )		دوره‌ی رشد (روز)	واریته	سال
MBE ( $mmd^{-1}$ )	RMSE ( $mmd^{-1}$ )		لایسیمتری	پنمن مانتیث			
-۰/۳۹	۰/۶۷	۴/۹	(۵/۵۱ و ۵۷۸/۵)	(۵/۲۴ و ۵۵۰/۱)	۱۰۵	طارم	اول
-۰/۰۹	۰/۴۵	۴/۷	(۵/۱۸ و ۴۸۱/۶)	(۵/۴۳ و ۵۰۴/۷)	۹۳	خرز	دوم

مقایسه‌ی نتایج اولیه جدول ۴ بیان می‌کند، تبخیر و تعرق لایسیمتری در رقم طارم ۵۷۸/۵ میلی‌متر و در رقم خزر ۴۸۱/۶ میلی‌متر است. این امر به‌دلیل بیشتر بودن طول دوره‌ی رشد رقم طارم در سال اول کشت، نسبت به رقم خزر در سال دوم کشت (جدول ۲) منطقی به‌نظر می‌رسد. از طرفی رقم طارم در طبقه‌ی ارقام دیررس با بوته‌های بلند قرار دارد. بنابراین، افزایش طول دوره‌ی رشد و بلندی بوته‌ها در میزان آب مصرفی تأثیرگذار است؛ زیرا ضریب انتقال بخار با افزایش زبری سطح زیاد می‌شود و با نتایج تحقیقات مورتون (۱۹۸۳، ۶۵) و تیاگی و همکاران (۱۹۹۹، ۵۲) همخوانی دارد. ضمن آن‌که، میانگین دمای هوای فصل رشد در سال اول نسبت به سال دوم و میانگین رطوبت نسبی سال دوم نسبت به سال اول بیشتر بوده (جدول ۲) که این می‌تواند در افزایش تبخیر و تعرق سال اول تأثیر داشته باشد.

همان‌گونه که در جدول ۴ مشاهده می‌شود، تبخیر و تعرق تجمعی برآوردهی از روش فائو نسبت به مقادیر اندازه‌گیری در سال اول ۴/۹ و در سال دوم ۴/۷ درصد بیشتر است. به عبارتی، مدل پنمن مانتیث و ضریب گیاهی فرمولی فائو در منطقه‌ی آمل با ۴-۵ درصد بیش برآورد<sup>۱</sup> نسبت به مقادیر تبخیر و تعرق گیاهی واقعی همراه خواهد بود. دلیل این بیش برآورد استفاده نکردن از مقدار واقعی مقاومت آئرودینامیک در منطقه (به‌دلیل بودن اندازه‌گیری آن) برای مدل پنمن مانتیث و ثابت درنظر گرفتن مقاومت روزنه‌ای در این مدل نسبت داد؛ درحالی که در شرایط طبیعی، گیاه توانایی تنظیم و ایجاد مقاومت در مسیرهای انتقال آب را برای جلوگیری از دادن آب دارد. به عبارت دیگر، ضریب انتقال بخار با لحاظ نشدن مقدار واقعی مقاومت‌های آتمسفری، سبب افزایش تبخیر و تعرق شده است. نقش ناپایداری‌ها در افزایش متغیر تبخیر و مقاومت‌های آتمسفری در کاهش متغیر تبخیر در پژوهش‌های مورتون (۱۹۸۳، ۶۵) و تیاگی و همکاران (۱۹۹۹، ۵۲) نیز تأیید شده است.

## بحث و نتیجه‌گیری

در پژوهش حاضر، با توجه به اهمیت اقتصادی و ارزش غذایی گیاه برنج در ایران، پژوهشی دو ساله برای تعیین نیاز آبی و انتخاب روش مناسب تخمین تبخیر و تعرق گیاه برنج انجام شد. با بررسی نتایج لایسیمتری، تبخیر و تعرق گیاه برنج در سال اول کشت، ۵۷۸/۵ میلی‌متر و در سال دوم، ۴۸۱/۶ میلی‌متر حاصل شد. مقایسه‌ی روش‌های برآورد تبخیر و تعرق گیاه برنج نشان داد با تخمین تبخیر و تعرق گیاه مرجع از روش تشت تبخیر و اعمال ضریب گیاهی، نتایج به

مقادیر واقعی نزدیک‌تر است. در بین روش‌های مختلف برآورد ضریب تشت نیز، رابطه اشنایدر مناسب‌تر از دیگر روش‌ها ارزیابی شد. در مجموع یافته‌های پژوهش نشان داد، با به کارگیری روش‌های مناسب تخمین تبخیر و تعرق گیاه مرجع و عوامل ضریب گیاهی، می‌توان تبخیر و تعرق گیاه برنج را با دقّت مطلوب محاسبه کرد که برای مناطق مختلف کاربردی و مناسب است.

## منابع

- Alizadeh A., and Kamali G.A., 2007, **Lands Water Requirements in Iran**, Emam Reza Publication, pp. 223.
- Allen, R.G., Clemments, A.J., Burt, C.M., Solomom, K. and Ohlloran, T., 2005, **Rediction Accuracy for Project Wide Evapotranspiration Using Crop Coefficient and Reference Evapotranspiration**, J. Irri., Drain. Eng, 13(1), pp. 24-36.
- Allen, R.G., Pereira, L.S., Rase, D. and Smith, M., 1998, **Crop Evapotranspiration: Guidelines for Computing Crop Requirements**, Irrigation and Drainage Paper No. 56, FAO Rom, Italy, 300 p.
- Daneshkar Araste, P., Tajrishi, M., Mirlatifi, S.M. and Saghafian, B., 2004. **Necessity of Revision on Free Water Surface Estimation Models in Arid Areas with Regional Advection: Chahnameh Reservoirs as a Case Study**, J. of Agr, Eng, Res. 5(18), pp. 37-58.
- Emdad, R. and Farshi, A., 1999, **Determination of the Best Empirical Formula for Estimating Evapotranspiration in Reference Plant in Golestan**, J. of Soil & Water Science, 12 (10), pp. 90-95.
- Ghasemi, A., Zare Abyaneh H., Amiri-Chayjan, R., Mohammadi, K., Maroofi, S. and Ahmadi, M, 2007, **Assessment of Reference Evapotranspiration (ET0) Results from Empirical Methods and Artificial Neural Networks with Lysimetric Data**, Agricultural Research, 7: 3, pp. 245-258.
- Irmak, S., Haman, D.Z., and Jones, J.W., 2002, **Valuation of Class Pans Coefficients for Estimating Reference Evapotranspiration in Humid Location**, J. of Irri, And Drain. Eng., ASCE, 128, 3, pp.153-159.
- Jalali Kontae, N., 2007, **Determination of Water Requirements of Zara and Tarom Varieties by Lysimeter**, Haraz Agricultural Human Resources Development Center, pp. 25-28.
- Javan Nikkhah, M., Hejaroud, Gh. A., Sharifi Tehrani A., and Elahi-Nia S.A., 2001, **Study of the Tolerance of Several Varieties and Lines of Rice to Stem Rot Fungus, Magnaporthe Salvinii in Gilan, Iran**, J. Science and Technology of Agriculture and Natural Resources, 5(4), pp.189-196.
- Jensen, M.E., Burman, R.D., Allen, R.G., 1990, **Evapotranspiration and Irrigation Water Requirement**, ASCE, Manuals and Rep, On Eng, Prac., No. 70, New York.
- Khalili, S.R., Davari, K., and Mousavi Baygi, M, 2008, **Monthly Precipitation Forecasting Using Artificial Neural Networks: A Case Study for Synoptic Station of Mashad**, Journal Water and Soil, Agricultural Science & Thechnology Ferdowsi University of Mashhad, 22(1), pp. 39-99.

- Khosh Khahesh, Y., 1997, **Evaluate the Efficiency of farm Irrigation in Rice under Irrigation Zarhay Gilan and Fouman**, Thesis, Tehran University.
- Moradi Dalini, A., Nishabori, M., Jahanbakhsh Asl, S., and Jafarzade, A., 2000, **Determination and Evaluation of Pan Coefficient Class a in Different Condition**, J. of soil & Water Sci., 14 (2), pp. 164-175.
- Morton, F.I., 1983, **Operational Estimates of Aerial Evaporation and their Significance to the Science and Practice of Hydrology**, J. of Hydrology, 66, pp. 1-67.
- Nahvi, M., Yazdani, M.R. and Rahim Soroush, H., 2000, **The Effect of Different Irrigation Periods**, the Amount of Water Use, Yield and Yield Components of Rice, Tenth Conference of Irrigation and Drainage National Committee, Tehran, pp. 1-8.
- Pirmoradian, M., Kamgar Haghghi, A.A., and Sepaskhah, A.R., 2002, **Crop Coefficient and Water Requirement of Rice in Kooshkak Area, Fars Province**, J. Science and Technology of Agriculture and Natural Resources. 6(3), pp. 15-22.
- Rahimikhoob, A., 2009, **An Evaluation of Common Pan Coefficient Equations to Estimate Reference Evapotranspiration in a Subtropical Climate (North of Iran)**, J. of Irrig Sci., 27, pp. 289-296.
- Razavipor, T., and Yazdani, M.R., 1999, **Coefficient and Coefficient of Rice Basin Region of Gilan (Rasht)**, Sixth Congress of Soil Science, Ferdowsi University of Mashhad, Faculty of Agriculture, pp. 621-692.
- Rosenberg, N.J. and Powers, W., 1970, **Potential for Evapotranspiration and Its Manipulation in the Plains Region**, Proc. Symp. Evapotranspiration Great Plains, Great Plains Agric. Council Publ. No. 50, pp. 275-300.
- Sabziparvar, A., Tafazoli, F., Zare Abyaneh, H., Banejad, H., Mousavi Bayegi, M., Ghafouri, M., Mohseni Movahed, A.A., and Maryanaji, Z, 2008, **Comparison of some Crop Reference Evapotranspiration Models in a Cold Semi-Arid Climate to Optimize the Use of Radiation Models**, Water and Soil (Agr. Sci. & Technology), 22(2), pp. 328-340.
- Sharifan, H. and Ghahraman, B., 2006, **Evaluation and Comparison of Estimated Reference Evapotranspiration from Evaporation with ET0 Standard Method in Gorgan**, J. Agric., Sci., Nature, Resource, 13(5), pp. 2-9.
- Tyagi, N.K., Director, D.K., Sharma; and Luthra, S.K., 1999, **Determination of Evapotranspiration and Crop Coefficients of Rice and Sunflower with Lysimeter**, Central Soil Salinity Research Institute, Karnal-132001, Indi, pp. 45-53.
- Webster, R.K. and Gunnell, P.S., 1992, **Compendium of Rice Disease**, APS Press, Saint Paul, Minnesota, USA. 62 p.
- Yang, X., Bouman, B.A.M., Zhang, Q., Xue, C., Zhang, T., Xu, J., Wang and Wang, H., 2006, **Crop Coefficient of Aerobic Rice in North China**, Nongye Gongcheng Xuebao/ Transactions of the Chinese Society of Agric. Eng. 22(2), pp. 37-41.
- Zare Abyaneh, H., Ghasemi, A., Bayat Varkeshi, M., Sabziparvar, A.A., and Mohamadi, K., 2009, **The Evaluation of two Artificial Neural Network Software in Predict of Crop Reference Evapotranspiration**, J. Water and Soil Science. 23 (3), pp. 176-185.